

УДК 539.192.194 : 541.6 : 546.883

© 1990

**МОДЕЛИРОВАНИЕ
ЭНЕРГЕТИЧЕСКОГО СПЕКТРА ЭЛЕКТРОНОВ
В АМОРФНОМ ОКСИДЕ ТАНТАЛА
КАК СИСТЕМЫ С ФЛУКТУАЦИЯМИ БЛИЖНЕГО ПОРЯДКА**

A. Л. Губский, С. Д. Ханин

Предлагается модель электронного строения реального оксида тантала. Показано, что флуктуации ближнего порядка в атомном строении материала приводят к возникновению в запрещенной щели оксида глубоких электронных состояний, по которым осуществляется прыжковый перенос электронов.

Для понимания и эффективного использования физических свойств оксида тантала необходимы детальные представления о его электронном строении (ЭС). В работах [1, 2] в рамках метода кластерного моделирования исследовались зависимости энергетического спектра электронов оксида Ta_2O_5 от параметров ближнего порядка (БП) в его атомной структуре (межатомных расстояний R_{Ta-O} , R_{O-O} , координационных чисел (КЧ) n_{Ta} и n_O и симметрии координационного полиэдра атома Та). Было показано, что ширина запрещенной щели оксида резко увеличивается с уменьшением расстояния R_{Ta-O} и ростом координационных чисел. В работах [1, 2] атомная структура оксида тантала считалась микроскопически однородной.

В настоящей работе с учетом полученных ранее результатов предлагается модель ЭС, основанная на представлении атомной структуры оксида тантала как системы с флуктуациями БП по объему образца. Такое предположение, на наш взгляд, более близко к реальной атомной структуре рассматриваемого материала и находит свое обоснование в целом ряде экспериментальных фактов (кроме самого факта структурной разупорядоченности оксида).

Так, данные рентгеноструктурного анализа [3, 4] указывают на то, что аморфный оксид тантала имеет меньшее среднее значение межатомного расстояния R_{Ta-O} и большую дисперсию расстояний σ по сравнению с кристаллом $\beta\text{-}Ta_2O_5$, что по мнению авторов и в соответствии с выводами [5] связано с существованием в структуре аморфного оксида областей сжатия—разрежения, возникающих в результате «размывания» вакансационных дефектов по объему. В результате термообработки оксидных пленок тантала, приводящей к диффузии ионов кислорода из пленки в металл, уменьшаются первое КЧ n_{Ta} и дисперсия расстояний σ , что можно объяснить преимущественной диффузией тех атомов кислорода, которые в среднем более удалены от атомов тантала и слабее с ним связаны. Прямым подтверждением наличия микронеоднородностей в атомной структуре оксида Ta_2O_5 может служить сложная структура рентгеновских фотоэлектронных спектров $Ta4f$ - и $O1s$ -уровней [6].

На флуктуации БП в объеме образцов указывают и данные по ионному транспорту. В результате электродиффузии ионов кислорода через пленку на границе окисел—металл происходит рост полевых кристаллов $\beta\text{-}Ta_2O_5$ [7]. При этом распределение полевых кристаллов по площади по-

верхности металла неравномерно, что говорит о наличии в пленках путей преимущественного транспорта. В пользу этого свидетельствуют также данные об инжекции и транспорте протонов в анодных пленках при катодной поляризации [8] и результаты исследования явления электропробоя в пленках [9].

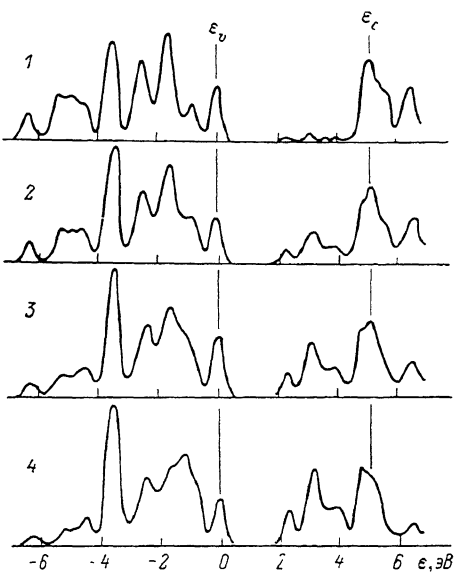
Есть также основания предполагать, что в атомной структуре оксидных пленок Ta_2O_5 имеются микропоры размером порядка 10 Å. Действительно, экспериментально установлено [10], что плотность аморфных пленок примерно на 20 % меньше, чем кристаллических, в то время как соотношение параметров БП (меньшее значение R_{Ta-O} и большее n_{Ta} в аморфной фазе) в случае отсутствия микропор приводят к противоположному выводу. Заметим, что вывод о наличии микропор в атомной структуре пленок типа Ta_2O_5 сделан в [11] при теоретическом рассмотрении механизма их роста.

Все изложенные выше результаты дают основание для интерпретации электронных свойств анодного оксида тантала предложить модель ЭС, в основе которой лежит представление о существовании в оксиде областей с различным БП. Для определенности рассмотрим простую модель двухфазной системы, состоящей из плотной (меньшие расстояния R_{Ta-O} и большие КЧ) и разреженной фаз. Происхождение таких областей с отличающимся БП может быть связано с рядом структурно-химических факторов: отклонением состава оксида от stoиhiometрического, локальным упорядочением в объеме аморфной структуры, неравномерным распределением комплексных анионов из электролита или протонов в объеме образца и др. В первом приближении полная плотность электронных состояний такой системы может быть представлена как суммирование плотностей электронных состояний отдельных фаз $\rho_1(\epsilon)$ и $\rho_2(\epsilon)$

$$\rho(\epsilon) = (1 - c)\rho_1(\epsilon) + c\rho_2(\epsilon), \quad (1)$$

где c — относительная объемная концентрация разреженной фазы.

На рисунке представлены полные плотности электронных состояний $\rho(\epsilon)$ при различных значениях концентрации c . Зависимости $\rho_1(\epsilon)$ и $\rho_2(\epsilon)$ определены из расчетов ЭС в [1, 2] и соответствуют параметрам БП для аморфного ($R_{Ta-O} = 1.97$ Å, $n_{Ta} = 7.5$) и кристаллического ($R_{Ta-O} = 2.12$ Å, $n_{Ta} = 6.5$) оксидов тантала. На рисунке отмечены также положение потолка валентной полосы ϵ_v и первый максимум в плотности свободных состояний 1-й (плотной) фазы ϵ_c , который может быть условно принят за порог подвижности в аморфном материале. Действительно, электронные состояния вблизи ϵ_c имеют малую эффективную массу, которая обратно пропорциональна величине интеграла пересека $(pd\pi)$ между АО соседних атомов металла и кислорода. Так как значение интеграла $(pd\pi)$ экспоненциально растет с уменьшением межатомного расстояния R_{Ta-O} [1, 2], то электронные состояния вблизи дна полосы проводимости в сжатой (аморфной) фазе имеют существенно меньшую эффективную массу и будут более делокализованными, чем аналогичные состояния в разреженной фазе.



Полная плотность электронных состояний в оксиде тантала.

$c: 1 - 0.1, 2 - 0.3, 3 - 0.5, 4 - 0.7.$

в приближении полная плотность электронных состояний такой системы может быть представлена как суммирование плотностей электронных состояний отдельных фаз $\rho_1(\epsilon)$ и $\rho_2(\epsilon)$

$$\rho(\epsilon) = (1 - c)\rho_1(\epsilon) + c\rho_2(\epsilon), \quad (1)$$

где c — относительная объемная концентрация разреженной фазы.

На рисунке представлены полные плотности электронных состояний $\rho(\epsilon)$ при различных значениях концентрации c . Зависимости $\rho_1(\epsilon)$ и $\rho_2(\epsilon)$ определены из расчетов ЭС в [1, 2] и соответствуют параметрам БП для аморфного ($R_{Ta-O} = 1.97$ Å, $n_{Ta} = 7.5$) и кристаллического ($R_{Ta-O} = 2.12$ Å, $n_{Ta} = 6.5$) оксидов тантала. На рисунке отмечены также положение потолка валентной полосы ϵ_v и первый максимум в плотности свободных состояний 1-й (плотной) фазы ϵ_c , который может быть условно принят за порог подвижности в аморфном материале. Действительно, электронные состояния вблизи ϵ_c имеют малую эффективную массу, которая обратно пропорциональна величине интеграла пересека $(pd\pi)$ между АО соседних атомов металла и кислорода. Так как значение интеграла $(pd\pi)$ экспоненциально растет с уменьшением межатомного расстояния R_{Ta-O} [1, 2], то электронные состояния вблизи дна полосы проводимости в сжатой (аморфной) фазе имеют существенно меньшую эффективную массу и будут более делокализованными, чем аналогичные состояния в разреженной фазе.

Увеличение концентрации с разреженной фазы в матрице плотной фазы приводит к росту плотности локализованных в местах разрежения электронных состояний, расположенных по энергии в запрещенной щели оксида (между ϵ_c и ϵ_v).

Рассмотрим теперь вопрос о заполнении электронных состояний в запрещенной щели реального оксида. Если оксид имеет идеальный стехиометрический состав Ta_2O_5 и отсутствуют источники дополнительных электронов (например, атомы водорода из электролита или инжектирующий неравновесные электроны катодный материал), то простой расчет показывает, что все электронные состояния ниже ϵ_v заполнены электронами, а выше ϵ_v — пусты. В этом случае проводимость материала будет аналогична собственной проводимости полупроводников и, учитывая большую (~ 4.5 эВ) величину запрещенной щели $\epsilon_g = \epsilon_c - \epsilon_v$, неизмеримо малой.

При отклонении же состава оксида от стехиометрического (Ta_2O_{5-x}) и/или наличии дополнительных электронов состояния в запрещенной щели частично заполнены и проводимость в материале будет определяться прыжковым механизмом по локализованным состояниям [12]. Следует отметить, что с ростом отклонения состава оксида от стехиометрического возрастает также и плотность электронных состояний в запрещенной щели. В связи с этим ЭС такого материала не может быть корректно воспроизведено в рамках модели жесткой зоны, а положение уровня Ферми сложно зависит от коэффициента нестехиометрии x .

Обсудим в рамках предложенной модели ЭС имеющиеся данные рентгеновской фотоэлектронной спектроскопии оксидных пленок Ta_2O_5 [6, 13]. В результате восстановительной термообработки пленок в спектрах оставшегося $Ta4f$ -уровня появляются два хорошо разрешенных дублета, разнесенных по энергии примерно на 4 эВ. В то же время в спектре валентных электронов появляется дополнительная полоса, расположенная примерно на 2 эВ выше края валентной полосы, причем интенсивность ее растет с увеличением температуры и/или длительности термообработки. Эти факты объясняются тем, что дефекты нестехиометрии, возникающие в результате термического воздействия, приводят к появлению в структуре атомов Та, находящихся в среднем дальше от атомов О и имеющих меньшее КЧ (разреженная фаза). С такими пространственными областями связаны локализованные электронные состояния, энергетически расположенные в запрещенной щели оксида. Заполнение этих состояний электронами увеличивается с ростом коэффициента нестехиометрии x и дает дополнительную полосу в спектрах. При этом значительно возрастает электропроводность образца, обусловленная перескоками носителей заряда по локализованным состояниям в запрещенной щели, что подтверждается экспериментально [12, 13].

В заключение отметим, что причиной появления в запрещенной щели оксида тантала локализованных состояний могут быть также и микропоры, о возможности существования которых в атомной структуре говорилось выше. Наши расчеты ЭС показывают, что в замкнутых полостях в объеме оксида могут существовать электронные состояния вакансационного типа, которые энергетически расположены в запрещенной щели оксида и сильно гибридизуются с $Ta5d$ и $O2p$ — АО атомов, расположенных на границах этих полостей. Плотность таких электронных состояний определяется концентрацией микропор в объеме образца, а энергетическое их положение — глубиной потенциальной ямы в полости. Такая вакансационная модель весьма близка по своим выводам к описанной выше. Возможно, в ЭС реального оксида тантала и аналогичных соединений присутствуют локализованные состояния обоих типов.

Список литературы

- [1] Губский А. Л., Ковтун А. П., Ханин С. Д. // ФТТ. 1987. Т. 29. № 4. С. 1067—1075.
- [2] Губский А. Л., Ханин С. Д. // ФТТ. 1989. Т. 31. № 1. С. 165—170.
- [3] Алешина Л. А. // Автореф. канд. дис. М., 1980.

- [4] Aleshina L. A., Malinenko V. P., Phouphianov A. D., Jakovleva N. M. // J. Non-Cryst. Sol. 1986. V. 87. P. 350—360.
- [5] Spaerpen F. // J. Non-Cryst. Sol. 1978. V. 31. P. 207—221.
- [6] Дьяконов М. Н., Костиков Ю. П., Костров Д. В., Ханин С. Д. // Изв. АН СССР, неорг. матер. 1980. Т. 16. № 5. С. 881—883.
- [7] Коварский А. П., Новотельнова А. В., Ханин С. Д., Чернюс Н. Л. // ЖТФ. 1988. Т. 58. № 2. С. 415—418.
- [8] Гусинский Г. М., Карпухина Л. Г., Муждаба В. М., Найденов В. О., Томиленко Г. Ф., Ханин С. Д. // ФТТ. 1987. Т. 29. № 11. С. 3253—3257.
- [9] Бей И. В., Дьяконов М. Н., Муждаба В. М., Ханин С. Д. // ФТТ. 1984. Т. 26. № 10. С. 3051—3054.
- [10] Дж. Дель Ока С., Пулфриг Д. Л., Янг Л. // Физика тонких пленок. М., 1973. С. 7—96.
- [11] Овчинников В. В. // Поверхность. 1988. В. 6. С. 80—87.
- [12] Брыксин В. В., Дьяконов М. Н., Ханин С. Д. // ФТТ. 1980. Т. 22. № 5. С. 1403—1410.
- [13] Костиков Ю. П., Костров Д. В., Томиленко Г. Ф., Ханин С. Д. // ЖТФ. 1983. Т. 53. № 11. С. 2198—2194.

НПО «Позитрон»
Научно-исследовательский институт «Гириконд»
Ленинград

Поступило в Редакцию
1 февраля 1990 г.